



Journal of Food and Drug Analysis  
1994. 2(3) : 201-209

藥物食品分析  
第二卷 第三期

## 紅肉橙蘭樹皮部單寧成分之研究

林 哲 輝

行政院衛生署藥物食品檢驗局

### 摘要

紅肉橙蘭(*Macaranga sinensis*)之樹皮以含水丙酮冷浸萃取，萃取液利用各種管柱層析，分離得到brevifolin carboxylic acid(1), corilagin(2), tercatain(3), mallorepanin(4), furosin(5), geraniin(6), macarinin A(7), chebulagic acid(8), macarinin B(9), putranjivain A(10), phyllanthusin C(11), bixanin(12) 及 1-O-galloyl-2,4-(4-hydroxychebuloyl)-3,6-(R)-HHDP-β-D-glucopyranose(13)等13種化合物，其中化合物13為新化合物。

各化合物之構造係以其物理化學性質及核磁共振光譜等數據推定，已知化合物並與文獻所載數據或標準品直接比對確認之。

### 前 言

在植物單寧(Tannin)成分研究系列中，有關大戟科(Euphorbiaceae)植物血桐[*Macaranga tanarius* (L.) Muell.-Arg.]及紅肉橙蘭(*M. sinensis* (Baill.) Muell.-Arg.)之研究，著者曾提出由血桐葉部分離得31種單寧成分，<sup>(1)</sup>由其樹皮部分離得10種單寧成分<sup>(2)</sup>及由紅肉橙蘭葉部分離得18種單寧成分<sup>(3)</sup>之報告，此次由紅肉橙蘭之樹皮部分離得13種化合物，其中化合物13為新化合物，本報告說明各化合物之構造決定。

### 材料與方法

#### 一、材料

紅肉橙蘭樹皮(1987年10月台灣省林業試驗所呂勝由先生採集自蘭嶼並鑑定)

#### 二、儀器

本實驗中融點測定使用Yanagimoto micro-melting point apparatus, 融點未校正。旋光度以

JASCO DIP-4旋光計測定。核磁共振(<sup>1</sup>H-NMR)光譜儀使用JEOL FX100, JEOL GX270 spectrometer, 以TMS為內標準, Fast atom bombardment mass spectra (FAB-MS)以JEOL JMS-HX 100 mass spectrometer測定。

#### 三、管柱層析使用之膠質

Sephadex LH-20 (25-100μ, Pharmacia Fine Chemical Co., Ltd), MCI-gel CHP 20P (75-150 μ, Mitsubishi Chemical Industries Co., Ltd), Bondapak C<sub>18</sub>/Porasil B (37-75 μ, Waters Associates, Inc.)。

#### 四、成分之萃取及分離

紅肉橙蘭樹皮部乾燥後(含小枝, 4.5 Kg), 用70%丙酮室溫下浸泡萃取，萃取液於減壓下將丙酮除去，析出之沈澱濾去後，濾液減壓濃縮至約1 L，利用Sephadex LH-20管柱層析(6.5 × 60 cm)，先以H<sub>2</sub>O沖提，再逐漸增加MeOH，最後並加acetone沖提，劃分成Fr.I(18 g), Fr. II(30 g)及Fr. III(43 g)三部分。Fr.I利用Sephadex LH-20管柱層析，先以H<sub>2</sub>O再逐漸增加MeOH沖提(以下以Sephadex LH-20/H<sub>2</sub>O-MeOH表示)，再利用Sephadex LH-

Journal of Food and Drug Analysis. 1994. 2(3)

20/EtOH純化,得到化合物**1**(32 mg).Fr.II利用Sephadex LH-20/H<sub>2</sub>O-MeOH分成Fr.II-a及Fr.II-b兩部分,Fr.II-a利用Sephadex LH-20/80%MeOH分離得到化合物**2** (180 mg), Fr II-b利用Sephadex LH-20/H<sub>2</sub>O-MeOH, Sephadex LH-20/EtOH, MCI gel CHP 20P/H<sub>2</sub>O-MeOH及Bondapak C<sub>18</sub>/Porasil B/H<sub>2</sub>O-MeOH, 分離得到化合物**5**(280 mg), Fr.III利用MCI gel CHP 20P/H<sub>2</sub>O-MeOH分成a-e五個部分,各部分利用上述各種管柱層析,由Fr.III-a分離得到化合物**10**(350 mg),**11**(80 mg),由Fr.III-b分離得到化合物**7**(140 mg),由Fr.III-c分離得到化合物**6**(1.63 g),由Fr.III-d分離得到化合物**3** (440 mg), **4**(20 mg), **8**(440 mg), **9**(140 mg), **13** (120 mg),由Fr.III-e分離得到化合物**12**(70 mg),各化合物之性質及光譜數據如下:

#### **化合物 1:Brevifolincarboxylic acid (1)**

黃色粉末(H<sub>2</sub>O-MeOH), mp > 300 °C, [α]<sub>D</sub><sup>23</sup> -3.0° (c=0.4, H<sub>2</sub>O:acetone=2:3). <sup>1</sup>H-NMR (acetone-d<sub>6</sub>+D<sub>2</sub>O)δ 2.58 (1H, dd, J=18.9,1.8 Hz, H-5), 3.09 (1H, dd, J=7.8,18.9 Hz, H-5), 4.56 (1H, dd, J=7.8,1.8 Hz, H-4), 7.45 (1H, s, H-3').

#### **化合物 2:Corilagin (2)**

白色無晶形粉末,[α]<sub>D</sub><sup>21</sup> -190.2° (c=0.8, acetone). <sup>1</sup>H-NMR (acetone-d<sub>6</sub>)δ 4.01-4.20 (2H, m, H-2,6), 4.43-4.64 (2H, m, H-4,5), 4.85-5.08 (2H, m, H-3,6), 6.38 (1H, s, H-1), 6.69,6.84 (each 1H, s, HHDP H), 7.12 (2H, s, galloyl H).

#### **化合物 3:Tercatain (3)**

淡褐色無晶形粉末,[α]<sub>D</sub><sup>22</sup> -73.0° (c=0.9, acetone). <sup>1</sup>H-NMR (acetone-d<sub>6</sub>)δ 4.35 (1H, d, J=4.2, Hz, H-2), 4.50-4.85 (3H, m, H-5,6), 5.04 (1H, d, J=3.4 Hz, H-3), 5.82 (1H, d, J=3.4 Hz, H-4), 6.36(1H, d, J=4.2 Hz, H-1), 6.84, 6.92 (each 1H, s, HHDP H), 7.02, 7.22 (each 2H, s, galloyl H).

#### **化合物 4:Mallorepain (4)**

淡褐色無晶形粉末,[α]<sub>D</sub><sup>13</sup> -63.0° (c=0.5, MeOH). <sup>1</sup>H-NMR (acetone-d<sub>6</sub>+D<sub>2</sub>O)δ 4.40-4.65 (2H in total, m, H-4,5), 4.79-4.94 (2H in total, m, H-3,6), 6.39 (1H, d, J=2.4 Hz, H-1), 6.77, 6.79, 6.93 (each 1H, s, tergalloyl H), 7.15 (2H, s,

galloyl H).

#### **化合物 5:Furosin (5)**

黃色粉末(H<sub>2</sub>O), mp 197-198 °C (dec.), [α]<sub>D</sub><sup>23</sup> -142.1° (c=1.0,MeOH). <sup>1</sup>H-NMR (acetone-d<sub>6</sub>+D<sub>2</sub>O)δ 5.34 (1H, s, DHDP H-1), 6.46 (1H, d, J=0.8 Hz, H-1), 6.53 (1H, s, DHDP H-3), 7.23 (2H, s, galloyl H), 7.28 (1H, s, DHDP H-3').

#### **化合物 6:Geraniin (6)**

黃色粉末(H<sub>2</sub>O), mp 218-221 °C (dec.), [α]<sub>D</sub><sup>22</sup> -147.8° (c=0.9,MeOH). <sup>1</sup>H-NMR (acetone-d<sub>6</sub>+D<sub>2</sub>O)δ 4.28-4.54 (1H, m, H-6), 4.68-5.00 (2H in total, H-5,6), 5.02 (1H, s, DHDP H-1), 5.40-5.60 (3H in total, H-2,3,4), 6.53 (1H, s, DHDP H-3), 6.59 (1H, s, H-1), 6.69, 7.12 (each 1H, s, HHDP H), 7.20 (2H, s, galloyl H), 7.23 (1H, s, DHDP H-3').

#### **化合物 7:Macarinin A (7)**

淡黃色無晶形粉末,[α]<sub>D</sub><sup>15</sup> -42.0° (c=1.1, MeOH). <sup>1</sup>H-NMR (acetone-d<sub>6</sub>+D<sub>2</sub>O)δ 4.25-4.50 (1H m, H-6), 4.60-4.90 (2H m, H-5,6), 4.94 (1/3 H, d, J=1.5 Hz, H-1), 5.17 (2/3H, s, DHDP H-1), 5.35-5.60 (3H, m, H-2,3,4), 6.25 (1/3H, d, J=1.5 Hz, DHDP H-3), 6.53 (2/3H, s, DHDP H-3), 6.54 (1H, br. s, H-1), 6.73, 7.01, 7.11, 7.19, 7.20, 7.26 (4H in total, each s, aromatic H), 7.21 (2H, s, galloyl H).

#### **化合物 8:Chebulagic acid (8)**

白色粉末(H<sub>2</sub>O), mp 240 °C (dec.), [α]<sub>D</sub><sup>23</sup> -54.3° (c=1.0,acetone). <sup>1</sup>H-NMR (acetone-d<sub>6</sub>)δ 2.21 [2H, d, J=7.6 Hz, chebuloyl (che) H-5], 3.88 (1H, dt, J=1.4,7.6,7.6 Hz, che H-4), 4.39 (1H, dd, J=14.2,12.3, Hz, H-6), 4.68-4.84 (2H in total, m, H-5,6), 4.92 (1H, d, J=7.1 Hz, che H-2), 5.12 (1H, dd, J=7.1,1.4 Hz, che H-3) 5.23 (1H, d, J=3.8 Hz, H-4), 5.52 (1H br. s, H-2), 5.96 (1H, br. s, H-3), 6.52 (1H, s, H-1), 6.65, 7.06 (each 1H, s, HHDP H), 7.13 (2H, s, galloyl H), 7.50 (1H, s, che H-3').

#### **化合物 9:Macarinin B(9)**

Journal of Food and Drug Analysis. 1994. 2(3)

灰白色無晶形粉末,  $[\alpha]_D^{15} -23.1^\circ$  ( $c=1.1$ , MeOH).  $^1\text{H-NMR}$  (acetone-d<sub>6</sub>+D<sub>2</sub>O) $\delta$  2.18 (2H, d,  $J=8.0$  Hz, che H-5), 3.88 (1H, dt,  $J=2.0, 8.0$  Hz, che H-4), 4.40-4.80 (2H m, H-6), 4.86 (1H m, H-5), 4.90 (1H, d,  $J=7.6$  Hz, che H-2), 5.11 (1H, dd,  $J=2.0, 7.1$  Hz, che H-3), 5.20 (1H, m H-4), 5.52 (1H, br. s, H-2), 5.95 (1H, br. s, H-3), 6.51 (1H, s, H-1), 6.73, 6.96, 7.00 (each 1H, s, aromatic H), 7.19 (2H, s, galloyl H), 7.52 (1H, s, che H-3').

#### 化合物 10: Putranjivain A(10)

無色板狀晶(H<sub>2</sub>O), mp 252-253 °C (dec.),  $[\alpha]_D^{24} -62.0^\circ$  ( $c=1.0$ , MeOH).  $^1\text{H-NMR}$  (270MHz, acetone-d<sub>6</sub>) $\delta$  1.64 [1H, d,  $J=14.7$  Hz, putranjivainoyl (put) H-3], 2.72 (1H, dd,  $J=1.5, 14.7$  Hz, put H-3), 3.94 (1H, m, put H-5"), 4.17 (1H, br. s, put H-4"), 4.19 (1H, m, put H-5"), 4.25 (1H, s, put H-3"), 4.45 (1H, dd,  $J=7.8, 11.4$  Hz, H-6), 4.72 (1H, dd,  $J=8.5, 11.4$  Hz, H-6), 4.75 (1H, d,  $J=1.5$  Hz, put H-1), 4.92 (1H, dd,  $J=7.8, 8.5$  Hz, H-5), 5.05 (1H, s, put H-1"), 5.35 (1H, d,  $J=3.9$  Hz, H-3), 5.61 (1H, s, H-2), 5.66 (1H, d,  $J=3.9$  Hz, H-4), 6.53 (1H, s, H-1), 6.66, 7.08 (each 1H, s, HHDP H), 7.19 (2H, s, galloyl H), 7.32 (1H, s, put H-3").

#### 化合物 11: Phyllanthusiin C(11)

淡褐色無晶形粉末,  $[\alpha]_D^{19} -80.3^\circ$  ( $c=0.8$ , MeOH).  $^1\text{H-NMR}$  (270MHz acetone-d<sub>6</sub>) $\delta$  2.24 (1H, t,  $J=11.2$  Hz, 2,4-acyl H-3), 2.44 (1H, dd,  $J=6.8, 11.2$  Hz, 2,4-acyl H-3), 4.37 (1H, dd,  $J=12.8, 15.3$  Hz, H-6), 4.61 (1H, dd,  $J=6.8, 11.2$  Hz, 2,4-acyl H-4), 4.63 (1H, s, 2,4-acyl H-1), 4.84~4.93 (2H, m, H-5,6), 5.39 (1H, d,  $J=2.9$  Hz, H-4), 5.58 (2H, br. s, H-2,3), 6.40 (1H, s, H-1), 6.68, 7.05 (each 1H, s, HHDP H), 7.10 (2,4-acyl H-3'), 7.15 (2H, s, galloyl H).

#### 化合物 12: Bixanin(12)

淡褐色無晶形粉末,  $[\alpha]_D^{18} -63.9^\circ$  ( $c=0.8$ , MeOH).  $^1\text{H-NMR}$  (270, MHz acetone-d<sub>6</sub>) $\delta$  4.80-4.89 (2H, m, H-5,6), 5.19 [1H, d,  $J=6.6$  Hz, dehydrochebuloyl (DCHE) H-2], 5.35 (1H, br. s, H

-2), 5.38 (1H, br. s, H-4), 5.40 (1H, d,  $J=4.2$  Hz, H-3), 5.52 (1H, d,  $J=6.6$  Hz, DCHE H-3), 6.42 (1H, s, H-5), 6.70, 6.98 (each 1H, s, HHDP H), 6.85 (1H, s, H-1), 7.09 (1H, s, DCHE H-3'), 7.24 (2H, s, galloyl H).

#### 化合物 13: 1-O-Galloyl-2,4-(4-hydroxychebuloyl)-3,6-(R)-HHDP-β-D-glucopyranose (13)

淡褐色無晶形粉末,  $[\alpha]_D^{18} -32.9^\circ$  ( $c=0.7$ , acetone). Anal. Calcd for C<sub>41</sub>H<sub>30</sub>O<sub>28</sub>·1/2H<sub>2</sub>O : C 50.26; H 3.19. Found : C 50.25; H, 3.24. negative FAB-MS m/z : 969 [M-H]<sup>-</sup>.  $^1\text{H-NMR}$  (270 MHz, acetone-d<sub>6</sub>) $\delta$  3.28 [1H, d,  $J=16.4$  Hz, 4-hydroxychebuloyl (HCHE) H-5], 3.43 (1H, d,  $J=16.4$  Hz, HCHE H-5), 4.43 (1H, dd,  $J=8.2, 9.8$  Hz), 4.75 (1H, d,  $J=9.8$  Hz), 4.81-4.89 (1H, m, H-5,6), 4.84 (1H, d,  $J=5.7$  Hz, HCHE H-2), 4.90 (1H, d,  $J=5.7$  Hz, HCHE H-3), 5.21 (1H, d,  $J=4.1$  Hz, H-4), 5.55 (1H, d,  $J=1.0$  Hz, H-2), 5.94 (1H, br. s, H-3), 6.56 (1H, br. s, H-1), 6.61, 7.05, 7.51 (each 1H, s, aromatic H), 7.18 (2H, s, galloyl H).  $^{13}\text{C-NMR}$  (acetone-d<sub>6</sub>+D<sub>2</sub>O)  $\delta$  42.5 (HCHE C-5), 47.3 (HCHE C-3), 62.2, 64.4, 67.4, 71.3, 74.1 (glc C-2~6), 68.5 (HCHE C-2), 77.6 (HCHE C-4), 91.9 (glc C-1), 107.7, 110.0 (HHDP C-3,3'), 110.6 (galloyl C-2,6), 115.0, 116.2, 117.2, 117.9 (HHDP C-1, 1', HCHE C-1',2',3'), 119.8 (galloyl C-1), 124.2, 125.5 (HHDP C-2,2'), 136.6, 138.8 (HHDP C-5,5'), 139.9, 140.1, 142.3 (galloyl C-4, HCHE C-4', 5'), 144.8, 145.0, 145.2, 145.4 (HHDP C-4, 4', 6,6'), 146.0 (galloyl C-3,5), 146.4 (HCHE C-6'), 165.4, 166.0, 166.5, 168.8, 169.7, 173.2, 174.1 (-COO-).

13-a: 褐色無晶形粉末,  $[\alpha]_D^{18} -44.5^\circ$  ( $c=0.7$ , acetone). Anal. Calcd for C<sub>41</sub>H<sub>28</sub>O<sub>27</sub>·H<sub>2</sub>O : C 50.73; H 3.12. Found : C 50.58; H, 3.21. negative FAB-MS m/z : 951 [M-H]<sup>-</sup>.  $^1\text{H-NMR}$  (270 MHz, acetone-d<sub>6</sub>+D<sub>2</sub>O) $\delta$  2.91 (1H, d,  $J=18.0$  Hz, HCHE H-5), 3.54 (1H, d,  $J=18.0$  Hz, HCHE H-5), 4.40 (1H, dd,  $J=14.8, 12.2$  Hz, H-6), 4.73-4.83 (2H in total, m, H-5,6), 5.19 (1H, d,  $J=6.3$  Hz, HCHE H-3), 5.35 (1H, d,  $J=2.6$  Hz, H-4), 5.59 (1H, br. s, H-2), 5.67 (1H, d,  $J=6.3$  Hz, HCHE H-2), 5.73 (1H, m, H-3), 6.51 (1H, br. s, H-1), 6.65, 7.67 (each 1H, s, HHDP H), 7.16 (2H, s, galloyl

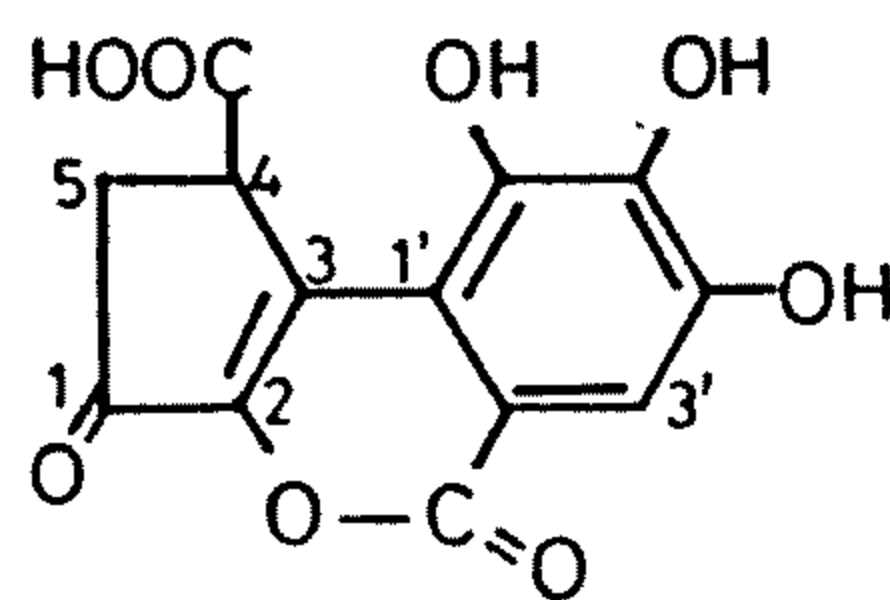


Figure 1. Structure of Compound 1

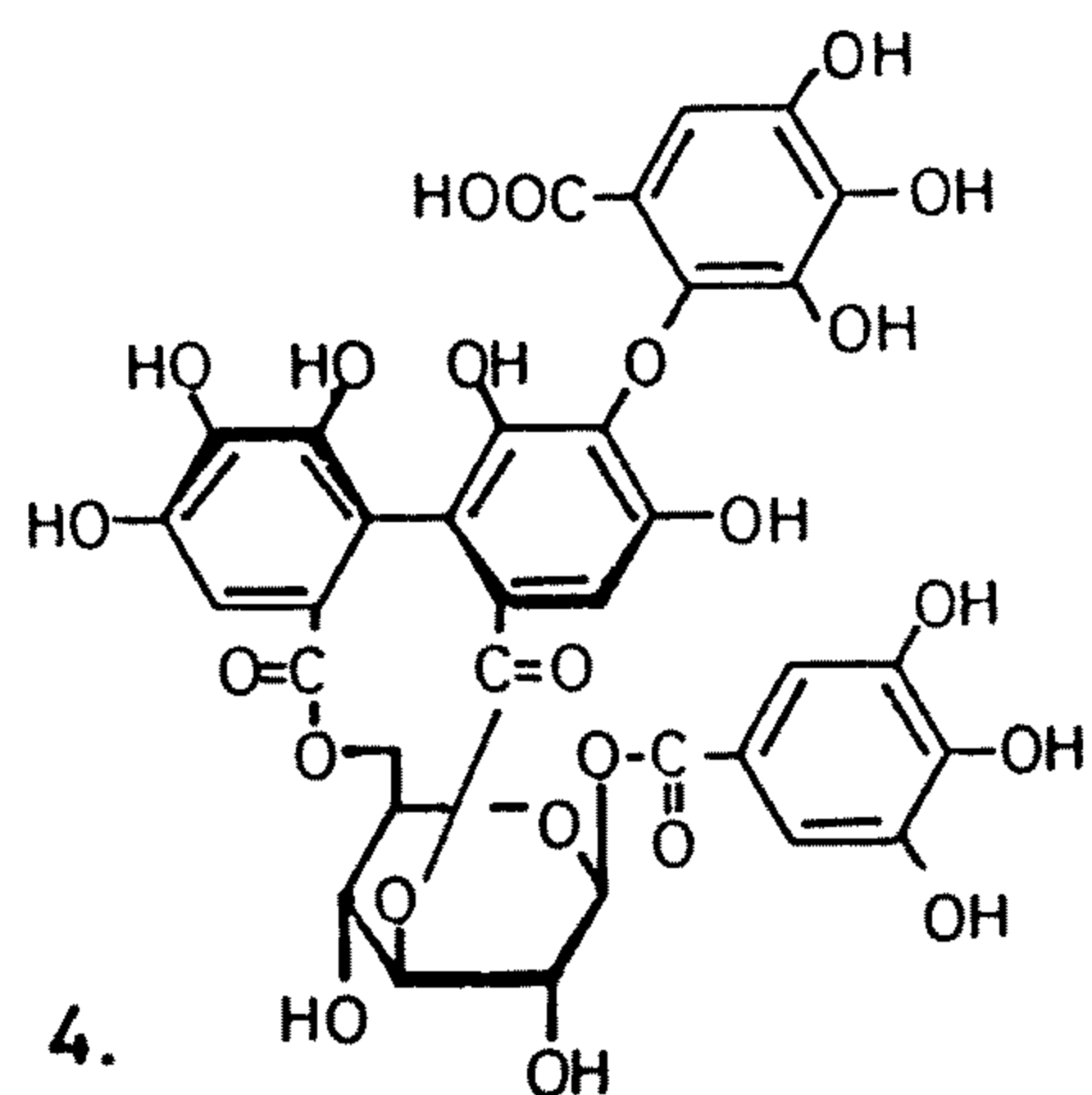
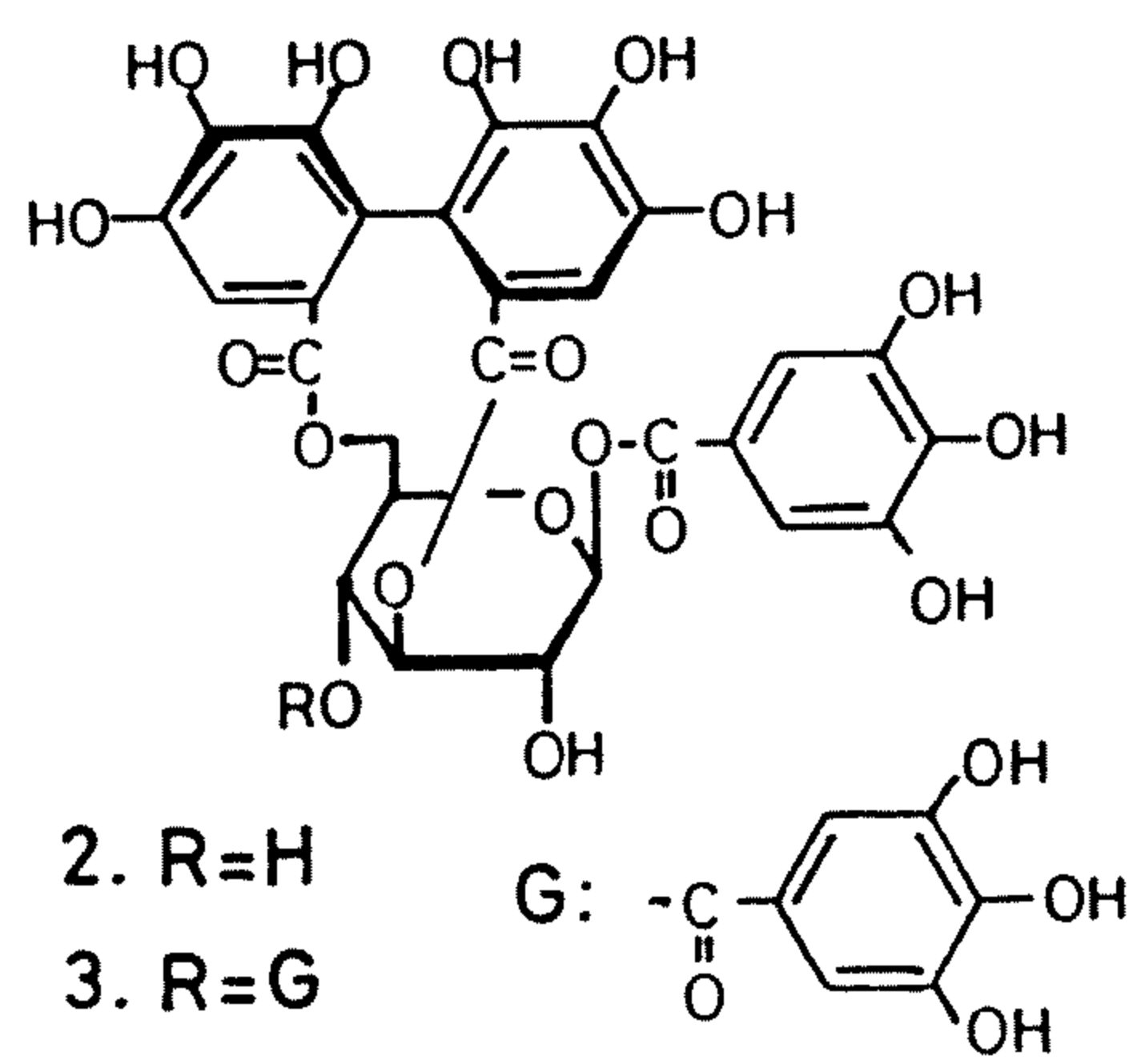


Figure 2. Structures of Compounds 2,3 and 4

H), 7.50 (1H, s, HCHE H-3').

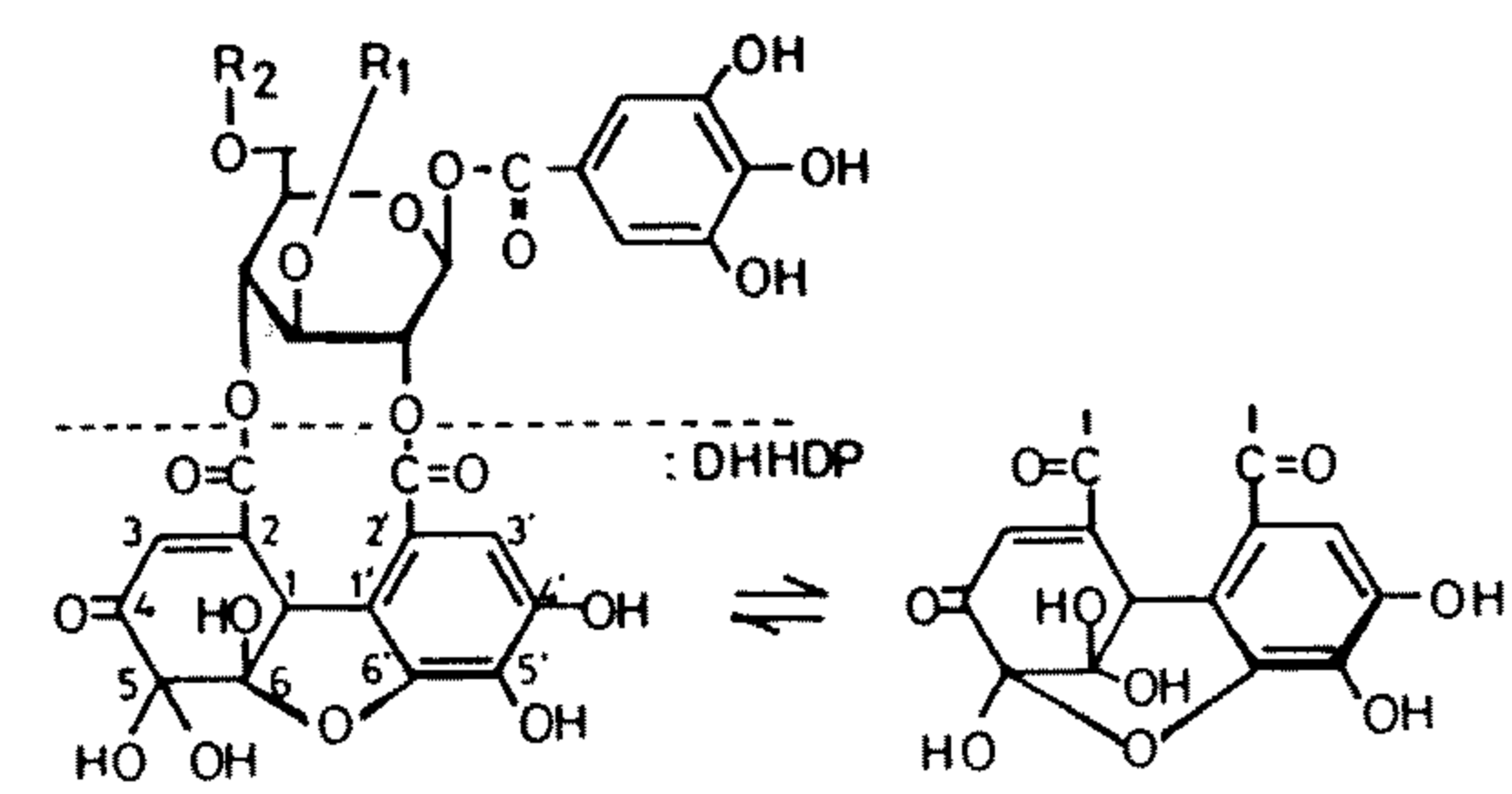
### 結果與討論

由紅肉橙蘭樹皮部分離到之13種單寧類化合物中, 化合物1為, phenoylcarboxylic acid類化合物, 經與brevifolincarboxylic acid(1)標準品比較其比旋光度及氫核磁共振光譜(以下簡稱<sup>1</sup>H-HMR

光譜)均一致,而確認其構造如圖一。

化合物2,3,4為glucose之3,6位以醯基架橋之加水分解型單寧, 化合物2之<sup>1</sup>H-NMR光譜, 在aromatic領域呈現一個hexahydroxydiphenyl(HHDP)基[δ 6.69, 6.84 (each 1H, s)]及一個galloyl基[δ 7.12 (2H, s)]之訊號, anomeric H之訊號呈現在δ 6.38 (1H, s), 光譜其他訊號及其諸性質亦均與corilagin (2)<sup>(1)</sup>所呈現者一致, 化合物3之<sup>1</sup>H-NMR光譜, 在aromatic領域呈現一個HHDP基[δ 6.84, 6.92 (each 1H, s)]及二個galloyl基[δ 7.02, 7.22 (each 2H, s)]之訊號, 與corilagin比較glucose之吸引訊號, anomeric H呈現在δ 6.36 (1H, d, J=4.2 Hz), 另外在δ 5.82 (1H, d, J=3.4 Hz)呈現可歸屬為glucose之H-4之訊號, 亦即corilagin之母核glucose之4位結合galloyl基之tercatain(3), 化合物2,3分別與corilagin, tercatain標準品直接比較確認之。化合物4之<sup>1</sup>H-NMR光譜, 在aliphatic領域與corilagin非常類似, 顯示為1,3,6位取代之glucose為母核, 而3,6位呈結合醯基之架橋, 在aromatic領域中, 呈現三個1H之單峰訊號[δ 6.77, 6.79, 6.93]及一個2H之單峰訊號[δ 7.15], 故推測為glucose之1位接galloyl基, 3,6位為接triphenoylcarboxylic acid之1-O-galloyl-3,6-(R)-tergalloyl-β-D-glucopyranose (mallorepanin), 與標準品比較光譜及性質均相同而確定構造為4<sup>(3)</sup>。

化合物5,6均為黃色結晶, 其<sup>1</sup>H-NMR光譜均



HHDP:

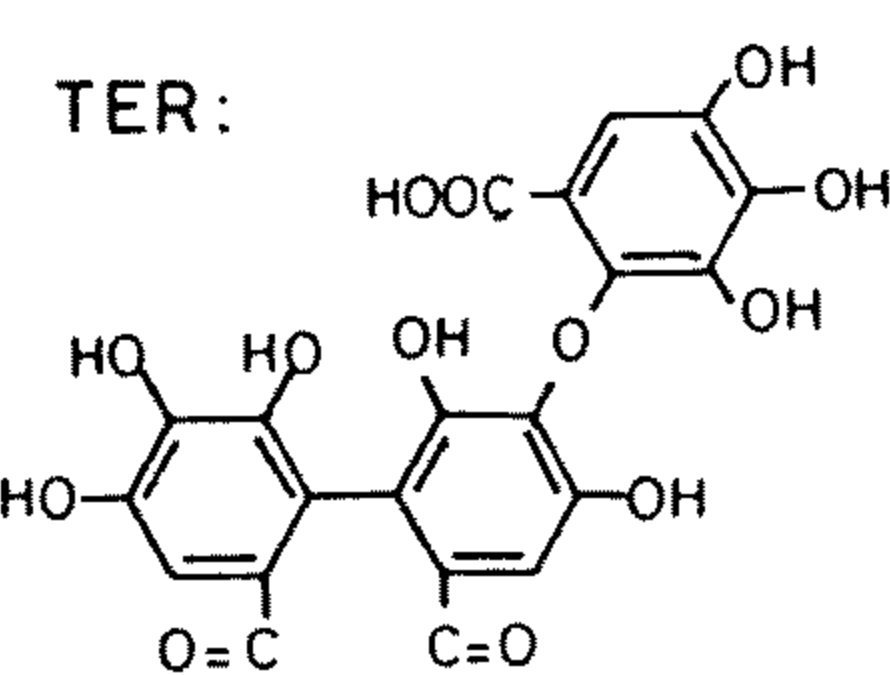
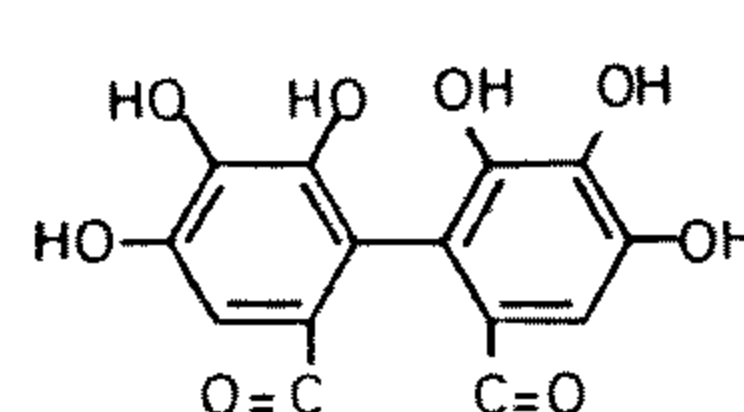
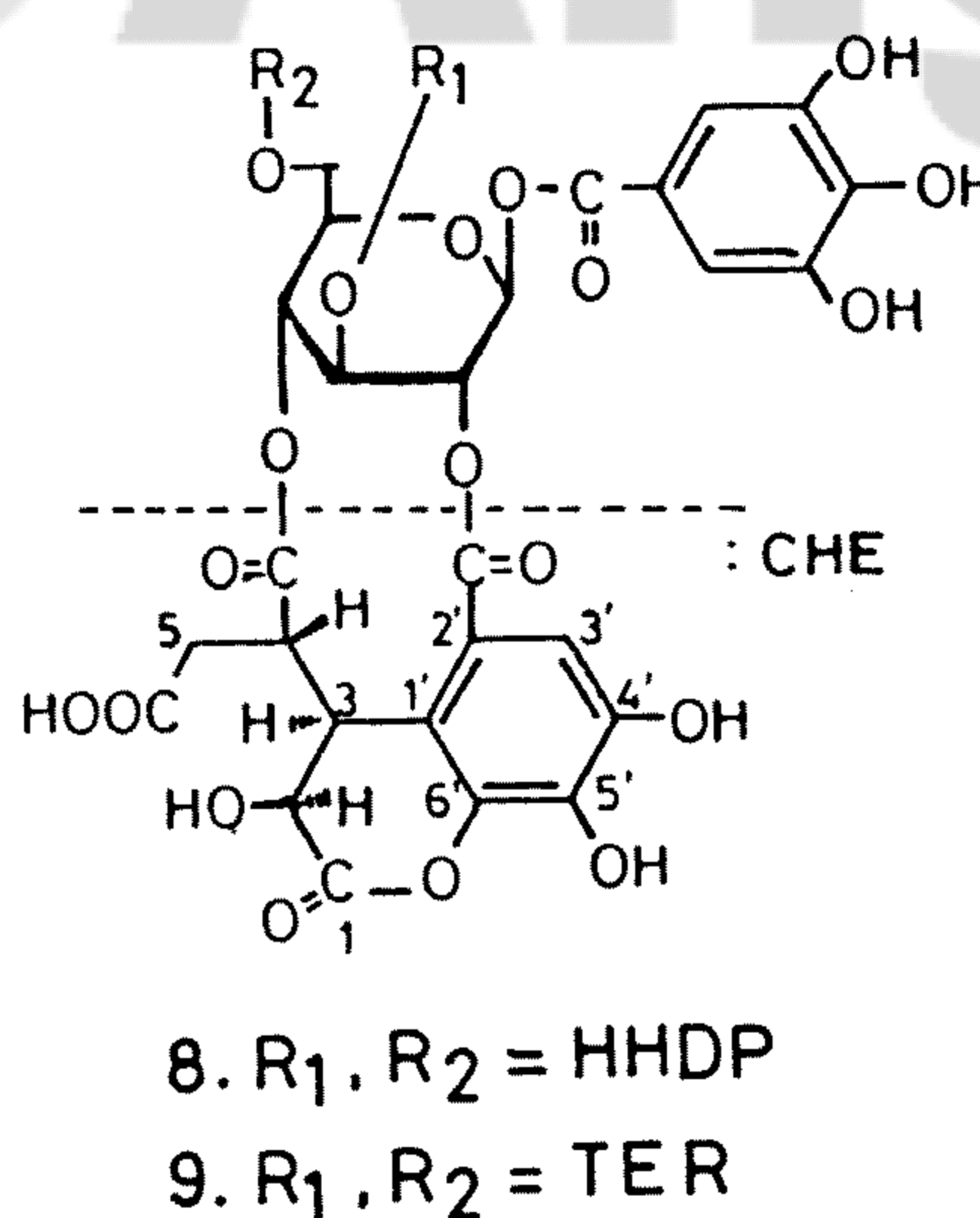


Figure 3. Structures of Compounds 5,6 and 7

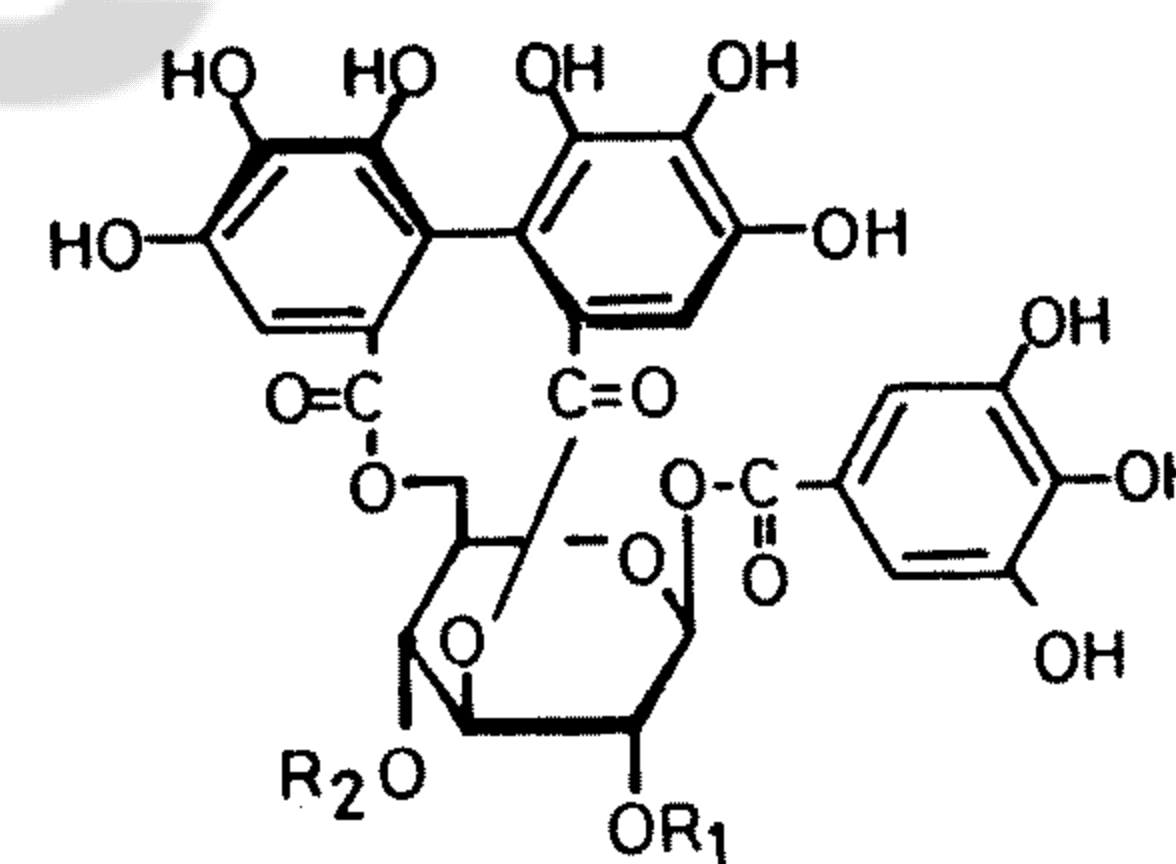
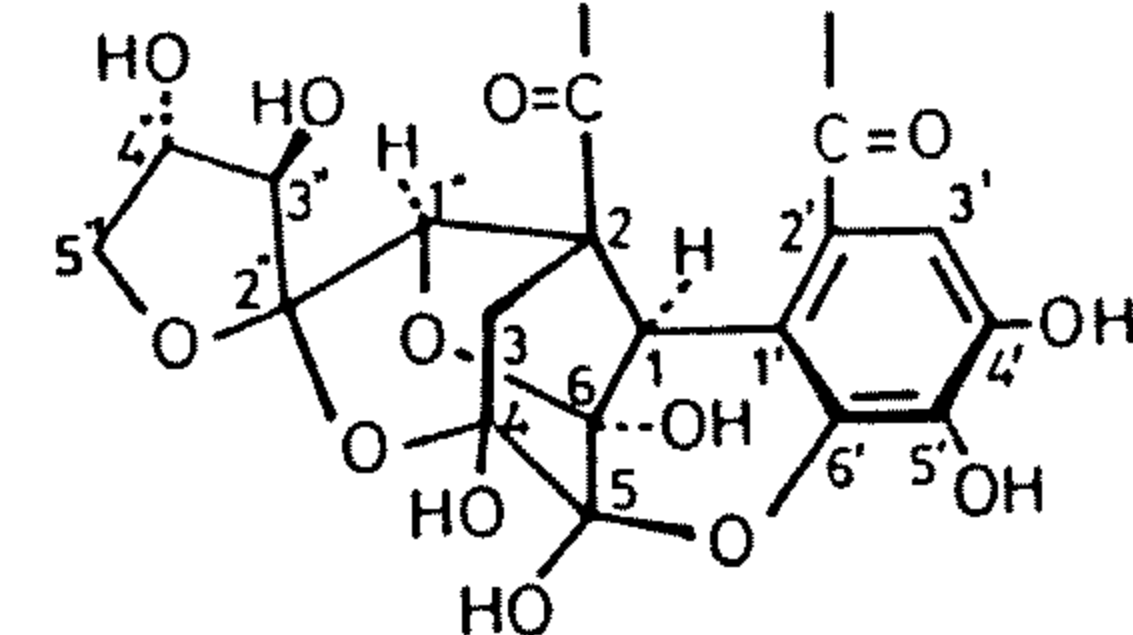
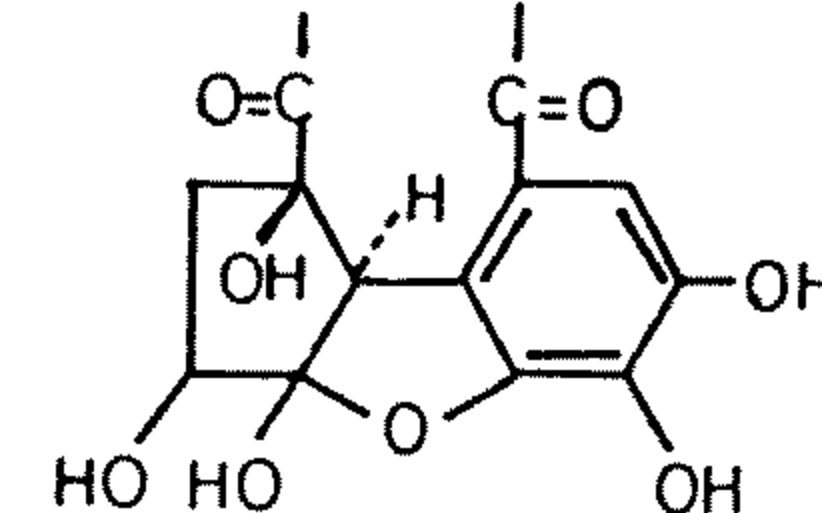
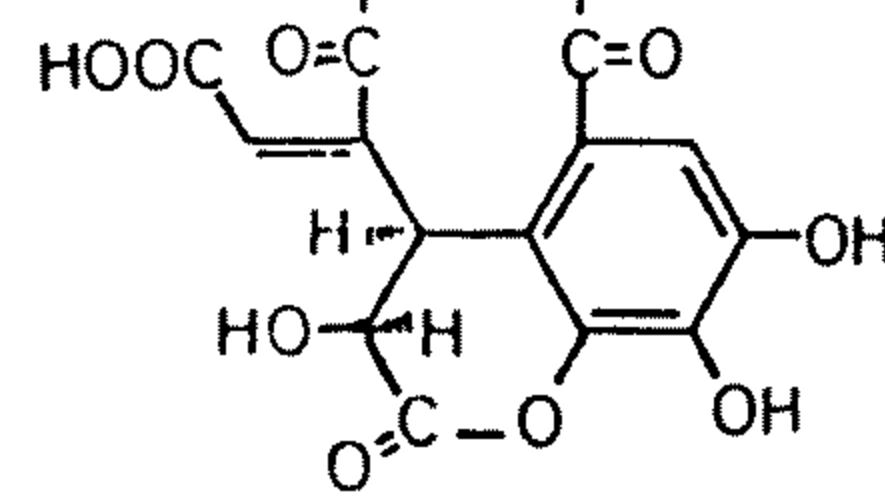
Journal of Food and Drug Analysis. 1994, 2(3)

**Figure 4.** Structures of Compounds 8 and 9

呈現dehydrohexahydroxydiphenyl (DHHDP)基6員環狀態之特有吸收訊號[(5 :  $\delta$  5.34 (1H, s, DHHDP H-1), 6.53 (1H, s, DHHDP H-3), 7.28 (1H, s, DHHDP H-3'); 6 :  $\delta$  5.02 (1H, s, DHHDP H-1), 6.53 (1H, s, DHHDP H-3), 7.23 (1H, s, DHHDP H-3')],此外,化合物5在aromatic領域呈現一個galloyl基之吸收訊號,anomeric H之吸收訊號則呈現在 $\delta$  6.46 (1H, d,  $J=0.8$  Hz),諸性質及光譜數據直接與furosin(5)標準品比對均一致而確認其構造<sup>(1)</sup>,化合物6則在aromatic領域中除galloyl基[ $\delta$  7.20 (2H, s)],之吸收訊號外,尚呈現HHDP基[ $\delta$  6.69, 7.12 (each 1H, s)]之吸收,與geraniin(6)標準品比較,而確認其構造如6<sup>(1)</sup>。

化合物7為黃色無晶形粉末,其<sup>1</sup>H-NMR光譜呈現DHHDP基之5員環及6員環平衡狀態特有之吸收峰[ $\delta$  4.94 (1/3H, d,  $J=1.5$  Hz, DHHDP H-1), 5.17 (2/3H, s, DHHDP H-1), 6.25 (1/3H, d,  $J=1.5$  Hz, DHHDP H-3), 6.53 (2/3H, s, DHHDP H-3),經與macarinin A(7)直接比較完全一致而確認之<sup>(3)</sup>。

化合物8為白色結晶性粉末,化合物9為灰白色粉末,兩者之<sup>1</sup>H-NMR光譜均呈現chebuloyl(ch)基之吸收訊號[8 :  $\delta$  2.21 (2H, d,  $J=7.6$  Hz, che H-5)] 3.88 (1H, dt,  $J=7.6, 1.4$  Hz, che H-4), 4.92 (1H, d,  $J=7.1$  Hz, che H-2), 5.12 (1H, dd,  $J=7.1, 1.4$  Hz, che H-3), 7.50 (1H, s, che H-3'); 9 :  $\delta$  2.18 (2H, d,  $J=8.0$  Hz, che H-5), 3.88 (1H, dt,  $J=8.0, 2.0$  Hz, che H-4), 4.90 (1H, d,  $J=7.6$  Hz,

10.  $R_1, R_2 =$ 11.  $R_1, R_2 =$ 12.  $R_1, R_2 =$ **Figure 5.** Structures of Compounds 10,11 and 12

che H-2), 5.11 (1H, dd,  $J=2.0, 7.0$  Hz che H-3), 7.52 (1H, s, che H-3')],糖之anomeric H均呈現於 $\delta$  6.52 (1H, s),且糖之氫核之吸收訊號均呈現於較低磁場,顯示均為醯基化。

化合物8在aromatic領域呈現二個1H [ $\delta$  6.65, 7.06 (each 1H, s)]及一個2H [ $\delta$  7.13 (2H, s)]之吸收訊號。因此,與糖結合之醯基,除了chebuloyl基外還有一個HHDP基及一個galloyl基,而化合物9在aromatic領域則呈現三個1H [ $\delta$  6.73, 6.96, 7.00 (each 1H, s)]及一個2H [ $\delta$  7.19 (2H, s)]之吸收訊號,故推測具有一個triphenylcarboxyl基及一個galloyl基。化合物8,9分別與chebulagic acid (8)及macarinin B(9)比較完全一致故確認其構造。<sup>(3)</sup>

化合物10為無色板狀結晶,mp. 252-256 °C (dec),化合物11,12均為淡褐色無晶狀粉末,三者均呈現HHDP基之吸收 [10 :  $\delta$  6.66, 7.08; 11 :  $\delta$

Journal of Food and Drug Analysis. 1994. 2(3)

6.68, 7.05; **12** :  $\delta$  6.70, 6.98; (each 1H, s)], 糖之 anomeric H各呈現於 $\delta$ 6.53;  $\delta$ 6.40及 $\delta$ 6.85 (each 1 H, s), 其餘之氫訊號均呈現於較低磁場, 顯示各羥基均被醯化, 化合物**10**之<sup>1</sup>H-NMR光譜除上述吸收訊號外, 更呈現putranjivainoyl(put)基之吸收訊號 [ $\delta$  4.75 (1H, d,  $J=1.5$  Hz, put H-1), 1.64 (1H,

d,  $J=14.7$  Hz, put H-3), 2.72 (1H, dd,  $J=1.5, 14$  Hz, put H-3), 5.05 (1H, s, put H-1’), 4.25 (1H, s, put H-3’), 4.17 (1H, br. s, put H-4’), 3.94, 4.19 (each 1H, m, put H-5’)及7.32 (1H, s, put H-3)], 故推定為putranjivain A(**10**)<sup>(5)</sup>; 化合物**11,12**亦由其<sup>1</sup>H-NMR光譜及物理化學性質各推定為phylla-

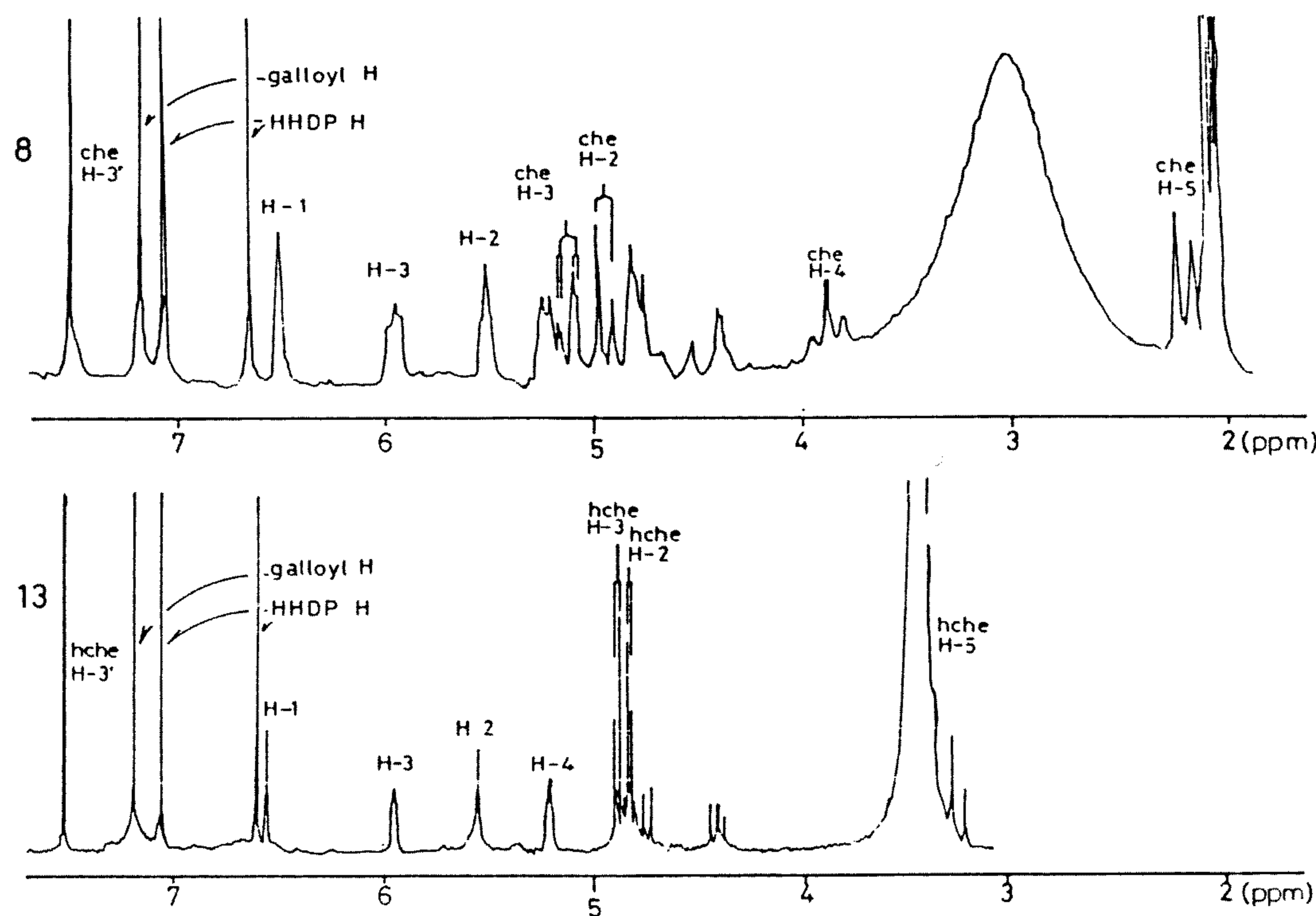


Figure 6. <sup>1</sup>H-NMR Spectra of Compounds 8 (100 MHz) and 13 (270 MHz) (in acetone-d<sub>6</sub>)

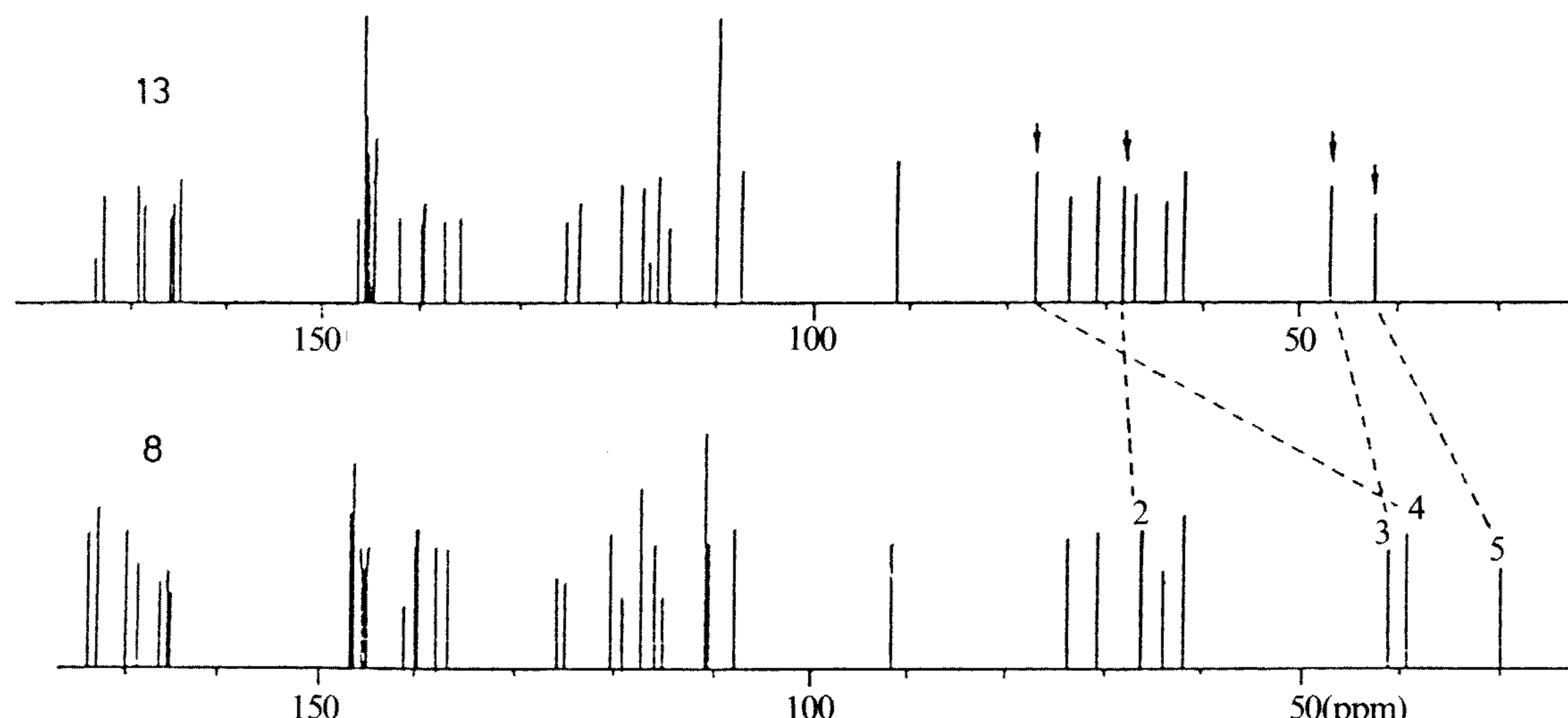


Figure 7. <sup>13</sup>C-NMR Spectra of Compounds 13 and 8 (in acetone-d<sub>6</sub>)

Journal of Food and Drug Analysis. 1994. 2(3)

nthusiin C(11)<sup>(6)</sup>及bixanin(12)<sup>(7)</sup>，以上推定之構造並經與標準品直接比較而確認之。

化合物13為淡褐色無晶形粉末， $[\alpha]_D = -32.9^\circ$  (acetone)，元素分析確認其分子式為C<sub>41</sub>H<sub>30</sub>O<sub>28</sub>·1/2 H<sub>2</sub>O，其<sup>1</sup>H-NMR光譜(圖6)呈現galloyl基[ $\delta$  7.18 (2H, s)], HHDP基[ $\delta$  6.61, 7.05 (each 1H, s)]及糖[anomeric H:  $\delta$  6.56 (1H, s)]之吸收訊號，這些訊號之化學位移與由chebulagic acid(8)而來之數據非常相近，顯示糖之羥基均被醯化，且糖之1,3,6位之結合與chelulagic acid同為1位有galloyl基，3,6位為(R)HHDP之結合，此外，<sup>1</sup>H-NMR光譜在 $\delta$  3.28, 3.43 (each 1H, d, J=16.4 Hz)呈現一對互相偶合之亞甲基氫(methylene H);在 $\delta$  7.51 (1H, s)]呈現一個aromatic H之訊號。

化合物13之negative FAB MS圖譜在m/z 969顯示其[M-H]<sup>-</sup>之peak，此比chebulagic acid(8)之分子量多16 unit，相當於一個氧原子，此外，比較<sup>13</sup>C-NMR光譜(圖7)，顯示兩者在aromatic領域之訊號及由糖而來之訊號甚為類似，但chebuloyl基於 $\delta$  39.5由methine而來之訊號，在化合物13則呈現在 $\delta$  77.6，並為帶有羥基之4級碳，此外在 $\delta$  68.5, 47.3之二個由methine及 $\delta$  42.5由methylene而來之訊號，分別歸屬為相當於chebuloyl基之2,3,5位之碳素而來之訊號，由以上之數據推測化合物13為4-hydroxychebulagic acid.

化合物13於室溫下放置，則易脫水閉環生成13-a [negative FAB MS: m/z 951 [M-H]<sup>-</sup>]，此由13-a與13之<sup>1</sup>H-NMR光譜(圖6)比較之，發現其糖及aromatic H之訊號極為類似，但由chebuloyl基之H-2而來之訊號則往低磁場移動(13:  $\delta$  4.84; 13-a:  $\delta$  5.67)，再者，5位之亞甲基氫之訊號分別於 $\delta$  2.91, 3.54 (each 1H, d, J<sub>gem</sub>=18.0 Hz)，由此而推定lactone係由chebuloyl基2位之羥基與6位羧基間脫水閉環形成 $\delta$ -lactone。

有關4-hydroxychebuloyl基之絕對配置係由化合物13之NOESY圖譜(圖8)中，chebuloyl基之benzyl methine (H-3)與glucose之anomeric H之間呈現強NOE，而以Drieding model檢討之結果，推測如13。

紅肉橙蘭之樹皮部所含之單寧以geraniin (3)為主成分，且均為以<sup>1</sup>C<sub>4</sub>(或shew form)-conformation之glucose為母核之加水分解型單寧，其2,4位及3,6位結合為多樣之醯基如：HHDP基，DHHDHP基，chebuloyl基，tergalloyl基，putranjivainoyl基等。

在血桐而言，由樹皮部得到之putranjivain A，

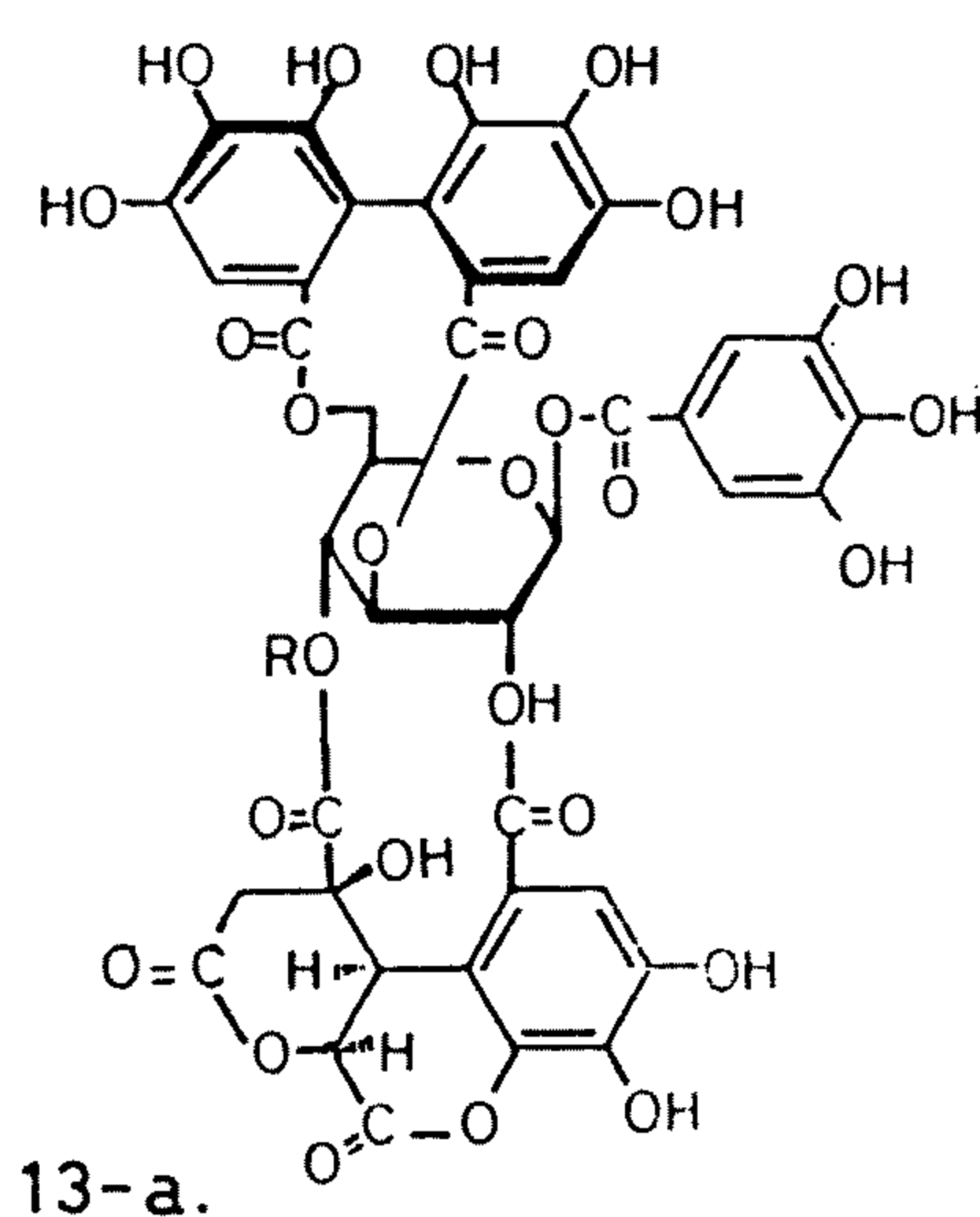
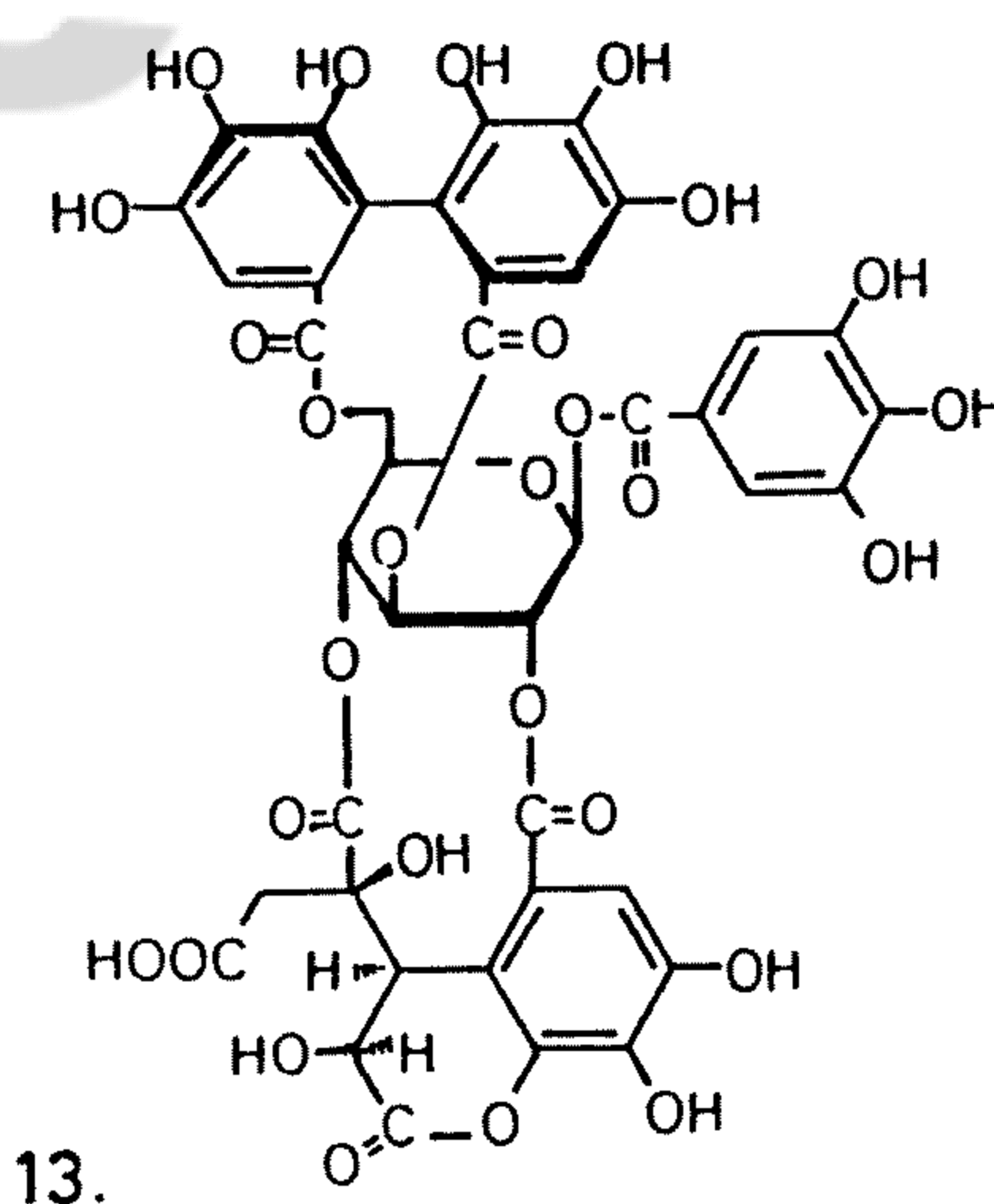


Figure 8. Structures of Compounds 13 and 13-a

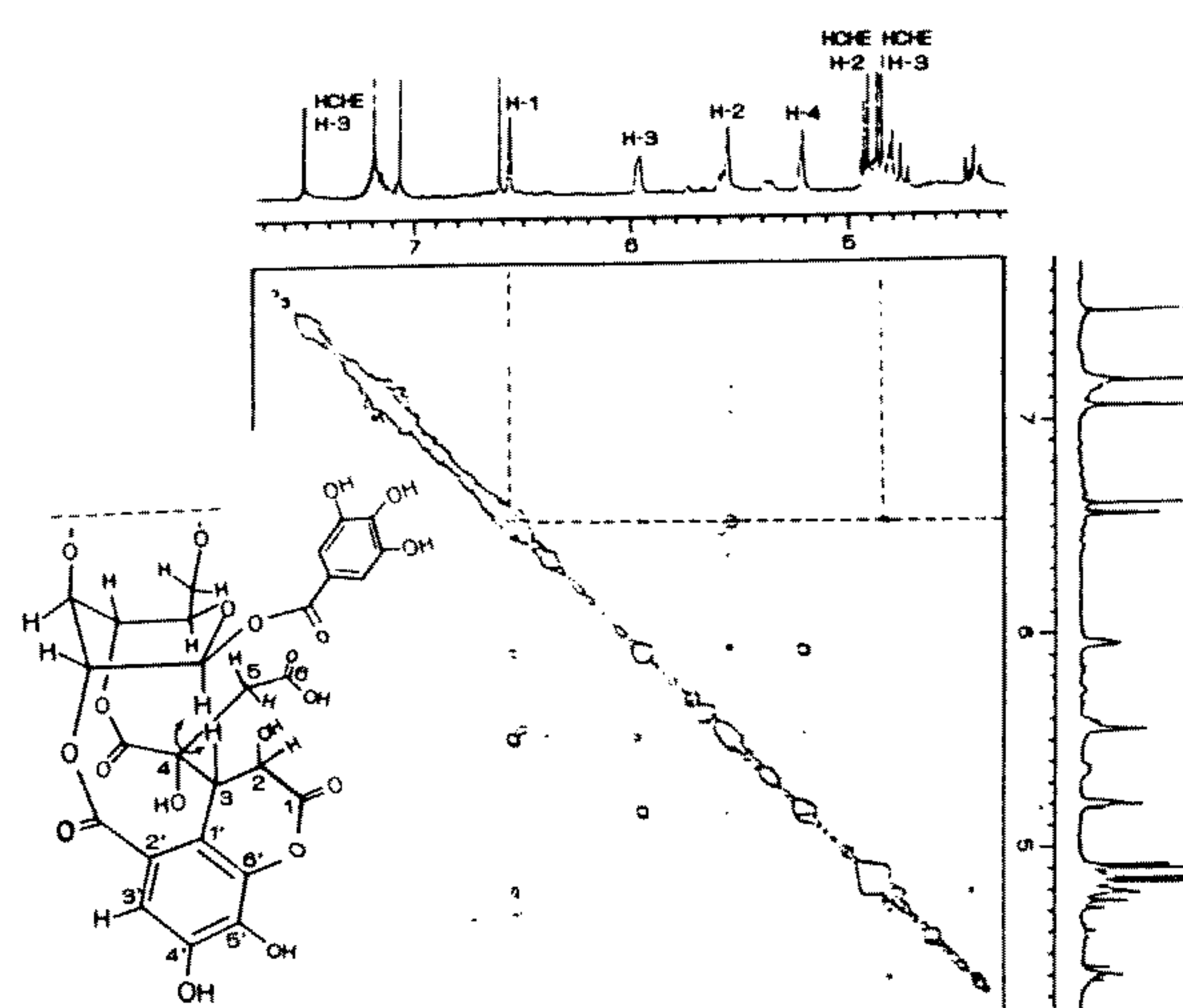


Figure 9. NOESY Spectrum of Compound 13

Journal of Food and Drug Analysis. 1994. 2(3)

B, macarinin A及mallophilinin, 在葉部均未得到, 而葉部所含之多種gallotannin在樹皮部則未得到, 顯示不同部位之單寧呈現不同之氧化階段, 而紅肉橙蘭與血桐亦有相同之情形, 即在葉部與樹皮部所含之單寧成分不盡相同, 如在葉部單離得含macaranoyl基之單寧, 在樹皮部並未得到, 而在樹皮部得到之bixanin, phyllanthusiin C及1-O-galloyl-2,4-(4-hydroxychebuloyl)-3,6-(R)-HHDP- $\beta$ -D-glucopyranose(13)則未在葉部得到, 顯然可見, *Macaranga*屬之二種植物及植物之不同部位, 所含成分之差異甚大。

### 謝　誌

本研究承日本九州大學藥學部生藥學教授西岡五夫博士、副教授野中源一郎博士及助教田中隆博士指導;光譜測定承同學部儀器中心田中彬嗣、添田恭子、磯部隆一先生惠助;研究材料承蒙台灣省林業試驗所　呂勝由先生惠贈,謹申謝忱。

### 參考文獻

1. Lin, J.H., Nonaka, G., Nishioka, I. 1990. Tannins and Related Compounds. XCIV. Isolation and Characterization of Seven New Hydrolyzable Tannins from the Leaves of *Macaranga tanarius* (L.) Muell. et Arg. Chem. Pharm. Bull. 38 : 1218.
2. 林哲輝. 1993. 血桐樹皮部單寧成分之研究. 藥

- 物食品分析.1(3) : 273-280.
3. Lin, J.H., Ishimatsu, M., Tanaka, T., Nonaka, G., Nishioka, I. 1990. Tannins and Related Compounds. XCVI. Structures of Macaranins, New Hydrolyzable Tannins Possessing Macaranoyl and Tergalloyl Ester Groups, from the Leaves of *Macaranga sinensis* (Baill.) Muell.-Arg. Chem. Pharm. Bull. 38 : 1844.
  4. Sajio, R., Nonaka, G. and Nishioka, I. 1989. Tannins and Related Compounds. LXXXVII. Isolation and Characterization of Four New Hydrolyzable Tannins from the Leaves of *Mallotus repandus*. Chem. Pharm. Bull. 37 : 2624.
  5. Sajio, R., Nonaka, G. and Nishioka, I. 1989. Tannins and Related Compounds. LXXXIV. Isolation and Characterization of Five New Hydrolyzable Tannins from the Bark of *Mallotus japonicus*. Chem. Pharm. Bull. 37 : 2063.
  6. Yoshida, T., Itoh, H., Matsunaga, S., Tanaka, R. and Okuda, T. 1992. Tannins and Related Polyphenols of Euphorbiaceae IX. Hydrolyzable Tannins with C Glucose Core from *Phyllanthus flexuosus* Muell. Arg. Chem. Pharm. Bull. 40 : 53.
  7. a)田中隆,野中源一郎,西岡五夫,1989,臘脂樹之單寧成分之研究,日本藥學會第109回年會(名古屋)演講要旨III. p.157.  
b)Lee, S.H., Tanaka, T., Nonaka, G., Nishioka, I. 1990. Hydrolyzable Tannins from *Euphorbia thymifolia*. Phytochemistry 29 : 3621

Journal of Food and Drug Analysis. 1994. 2(3)

## Studies on Tannins from the Bark of *Macaranga sinensis* (Baill.) Muell.-Arg.

JER-HUEI LIN

National Laboratories of Foods and Drugs, Department of Health, Executive Yuan  
161-2, Kuen Yang Street, Nan Kang, Taipei, Taiwan, R.O.C.

### ABSTRACT

Together with twelve known compounds—brevifolincarboxylic acid(1), corilagin(2), tercatain(3), mallorepanin(4), furosin(5), geraniin(6), macarinin A(7), chebulagic acid(8), macarinin B(9), putranjivain A(10), phyllanthusiin C(11), bixanin(12), a new hydrolyzable tannin, 1-O-galloyl-2,4-(4-hydroxychebuloyl)-3,6-(R)-HHDP-

$\beta$ -D-glucopyranose(13) was isolated from the bark of *Macaranga sinensis* (Baill.) Muell.-Arg. (Euphorbiaceae).

Structures of these tannins were established on the basis of their physical properties and spectroscopic evidence.

**Key Words:** *Macaranga sinensis*, Euphorbiaceae, Hydrolyzable tannin.